

熊本大学工学部 正員 〇秋吉 卓
 熊本大学工学部 学生員 野中正巳
 熊本大学工学部 学生員 吉川善一

1. まえがき 地上空間の狭隘化したところある大都市地域では、多くの土木構造物が地中あるいは水中に沈設される傾向にある。最近では水中トンネルとして沈埋によるものも多く計画・施工されているようであるが、本研究の対象とするトンネルは浮力を利用した浮トンネルである。この浮トンネルは以前より長大橋あるいは長大掘きくトンネルの比較案として検討されたこともあるが、費用の面では相当有利であるにもかかわらず、いまだ実現には至っていない。ここではその耐震性について検討するために、有限要素法による調和振動解析を行なった。

2. 力学モデルと解析 水中トンネルは図-1のよ

うに、水面よりある深さのところで静時に鉛合っており、このとき水平調和振動する系を考える。

この場合、水の圧縮性を無視すると、動水圧 P は二次元領域で次式を満足す。

$$\frac{\partial^2 P}{\partial x^2} + \frac{\partial^2 P}{\partial z^2} = 0 \quad \dots\dots (1)$$

よって境界条件として

$$\frac{\partial P}{\partial n} + \rho g = 0, \quad (n: \text{媒体の境界外向法線方向}) \quad (2)$$

とすると、 P は結局次元汎関数 χ を最小にすればよい。

$$\chi = 1/2 \cdot \iint_{\Omega} [(\frac{\partial P}{\partial x})^2 + (\frac{\partial P}{\partial z})^2] dx dz + \int_{\Gamma} \rho P ds \quad \dots\dots (3)$$

左右の境界 B_L, B_R において適切にた領域を、図-1のように三角形要素に分割すると、図-2のよう三角形要素内の動水圧 P は、その節点値 $\{P_i, P_j, P_m\}$ より次式で与えられる。

$$P(x, z) = [N_i, N_j, N_m] \{P\}^e \quad \dots\dots (4)$$

ただし、 $N_i = (a_i + b_i x + c_i z) / 2\Delta$, $\{P\}^e = \begin{Bmatrix} P_i \\ P_j \\ P_m \end{Bmatrix}$, Δ : 三角形の面積,

$$a_i = x_j z_m - x_m z_j, \quad b_i = z_j - z_m, \quad c_i = x_m - x_j.$$

この要素の汎関数を χ^e とすると、式(3)より

$$\begin{aligned} \frac{\partial \chi^e}{\partial P_i} &= \iint_{\Omega} [2\frac{\partial P}{\partial x} \cdot \frac{\partial P_i}{\partial x} + 2\frac{\partial P}{\partial z} \cdot \frac{\partial P_i}{\partial z}] dx dz + \int_{\Gamma} \rho P_i ds \\ &= 1/4\Delta [b_i b_i + c_i c_i, b_i b_j + c_i c_j, b_m b_i + c_m c_i] \{P\}^e + b_i a_i / 2 \cdot (2g_i + g_m) \end{aligned} \quad \dots\dots (5)$$

ただし、式(5)の右辺第2項は辺 im が境界の場合のみ、節点 i, m がそれぞれ g_i, g_m である。

したがって要素 ijm の χ^e は、次のようマトリクス表示となる。

$$\{\frac{\partial \chi^e}{\partial P}\}^e = [R] \{P\}^e + \{F\}^e \quad \dots\dots (6)$$

こゝに、 $[R]$ の要素 r_{ij} は、 $r_{ij} = b_j a_i + c_j a_i$ 。

したがって、領域全体の汎関数 $\chi = \sum \chi^e$ を最小にするには、 $\frac{\partial \chi}{\partial P_i} = 0$ より

$$[H] \{P\} + \{F\} = 0 \quad \dots\dots (7)$$

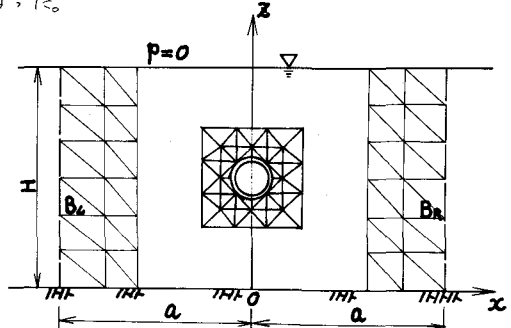


図-1 水中トンネルのモデル

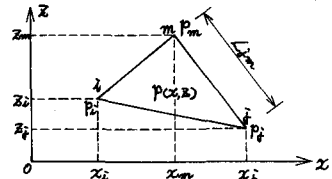


図-2 三角形要素 ijm

ここに、 $H_{ij} = \sum r_{ij}^e$, $F_i = \sum f_i^e$ であって、 \sum は関係する全要素について加える。

3. 境界条件 水中トンネルが水平右方に加速度運動するとき、その節点加速度を $\{a_1, a_2, \dots, a_r\}$ とすれば、 $\{f_R\}$ は次式で与えられる。

$$\{f_R\} = \begin{Bmatrix} f_{R1} \\ f_{R2} \\ \vdots \\ f_{Rr} \end{Bmatrix} = -\rho \begin{bmatrix} n_1 & 0 \\ 0 & n_r \end{bmatrix} \begin{Bmatrix} a_1 \\ a_r \end{Bmatrix} \quad \dots\dots (8)$$

ここに、 n_i はトンネル表面より水中へを正とする方向余弦である。かくして、式(7)よりトンネル表面に発生する動水圧 $\{P\} = \begin{Bmatrix} P_1 \\ P_2 \\ \vdots \\ P_r \end{Bmatrix}$ は次式となる。

$$\{P\} = \begin{Bmatrix} P_1 \\ P_2 \\ \vdots \\ P_r \end{Bmatrix} = -[E_1] \begin{Bmatrix} F_1 \\ F_2 \\ \vdots \\ F_r \end{Bmatrix} = \frac{\rho}{\delta} [E_1][L][n]\{a\} = -[M_0]\{\delta\} \quad \dots\dots (9)$$

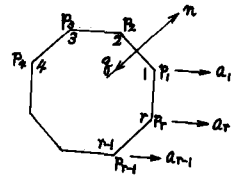


図-3 トンネルの運動

ここに、 $[M_0] = \frac{\rho}{\delta} [E_1][L][n]$, $[H]^{-1} = \begin{bmatrix} E_1 & & \\ & \dots & \\ & & E_r \end{bmatrix}$, $[n] = \begin{bmatrix} n_1 \\ \vdots \\ n_r \end{bmatrix}$, $\{a\} = \begin{Bmatrix} a_1 \\ \vdots \\ a_r \end{Bmatrix} = -\begin{Bmatrix} \delta_1 \\ \vdots \\ \delta_r \end{Bmatrix}$

$$[L] = \begin{bmatrix} 2(L_{r1} + L_{12}) & L_{12} & & & \\ L_{12} & 2(L_{12} + L_{23}) & & & \\ \vdots & \vdots & \ddots & \ddots & \vdots \\ L_{r1} & & & 2(L_{r-1} + L_{r1}) & \\ & & & & \ddots \end{bmatrix}, \quad L_{ij} : \text{節点 } i \text{ 間の距離}$$

したがって、圧力による節点力 $\{R\}$ は次式で与えられる。

$$\{R\} = [A][M_0]\{a\} = -[M_P]\{\delta\} \quad \dots\dots (10)$$

ただし、 $[M_P] = [A][M_0]$, $[A]$: 圧力を節点に割りつけるマトリクス。

ところで図-1において、左右の境界 B_L, B_R で仕切られた有限領域の場合には、動水圧 P の境界条件として、水面で $p=0$ およびその他の側方・底面で $\partial p / \partial n = 0$ として解くことになるが、一方側の境界の半無限領域を考へる場合は、連続体解析の結果よりの水圧が距離とともに指数的に減少することを考慮した外力を境界に加えることにより、有限領域の問題として取扱うことができる。

そこで三角形要素を2個組合わせた矩形要素とすると

$$P(x, z) = [N_i, N_j, N_m, N_n] \{P\}^e \quad \dots\dots (11)$$

ここに、 $\{P\}^e = \begin{Bmatrix} P_1 \\ P_2 \end{Bmatrix}$, $N_i = (1 - \frac{x}{a})(1 - \frac{z}{b})$, $N_j = \frac{x}{a}(1 - \frac{z}{b})$, $N_m = \frac{x}{a} \frac{z}{b}$, $N_n = (1 - \frac{x}{a}) \frac{z}{b}$

図-4の(b)のような場合の、式(7)の $[H]$ に相当する $[H']$ は

$$[H'] = \frac{\rho}{3b} \begin{bmatrix} 6 + \alpha^2(a^2 - 2b^2) & -6(\alpha a)^2 & & & \\ -6(\alpha a)^2 & 12 + 2\alpha^2(a^2 - 2b^2) & & & \\ & & -6(\alpha a)^2 & & \\ & & & 12 + 2\alpha^2(a^2 - 2b^2) & \\ & & & & -6(\alpha a)^2 & 6 + \alpha^2(a^2 - 2b^2) \end{bmatrix}, \quad [A] = \begin{bmatrix} 2 & 1 \\ 1 & 4 \\ & 1 & 4 \\ & & 1 & 4 \\ & & & 1 & 2 \end{bmatrix}$$

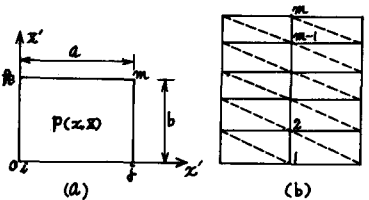


図-4 矩形要素モデル

$$\text{よって、} [H']\{P\} - (\alpha a)^2 [A]\{P\} = 0 \quad \dots\dots (12)$$

を満足する固有値 $\{\alpha_i\}$ 、モデルマトリクス $[a] = \{\alpha_1, \alpha_2, \dots, \alpha_m\}$ を求めておくと、式(7)の $\{F\}$ にさらに加えるべき外力項 $\{F'\}$ は、 $[a]$ を用いて展開すれば次式のようになる。

$$\{F'\}_R = b/6 \cdot [A][a][\alpha][\beta] = b/6 \cdot [A][a][\alpha][a]^T [A]\{P\}_R = [R]_R \{P\}_R \quad \dots\dots (13)$$

ただし、 $[a]^T [A][a] = [E]$ とする。同様にして左側境界 B_L においては次式をうる。

$$\{F'\}_L = b/6 \cdot [A][a][\alpha'] [a']^T [A]\{P\}_L = [R]_L \{P\}_L \quad \dots\dots (14)$$

このとき、 $[\alpha] = \begin{bmatrix} \alpha_1 & & \\ & \alpha_m & \\ & & 0 \end{bmatrix}$: 固有値マトリクス(対角), $[\alpha']$: $[\alpha]$ の負の値。

以上のように、半無限の領域の問題にあつても、その有限要素法による定式化が行なわれるならば、解析は若くし簡素になり、見通しもよくなる。数値計算結果等は講演時に述べる予定である。

参考文献 1) O.C. Zienkiewicz: The Finite Element Method in Engineering Science, McGRAW-HILL.